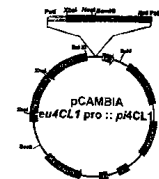


Vector tách dòng pJET 1.2 Blunt chứa gen *pi4CL1* (phân lập từ Thông Đầu Ngựa) và promoter *eu4CL1* (phân lập từ Bạch Đàn Trắng) của phòng Đa dạng hệ gen, Viện Nghiên cứu hệ gen, Viện Hàn lâm Khoa học và Công nghệ Việt Nam. Cùng với, các vector trung gian pRTRA7/3, vector biểu hiện thực vật pCAMBIA1300, vi khuẩn *E. coli* chủng DH10b, vi khuẩn *A. tumefaciens* chủng C58 (pGV2260) để phục vụ cho quá trình nghiên cứu.

Các cặp mồi cho PCR được liệt kê tại Bảng 1.

Bảng 1. Các mồi được sử dụng trong nghiên cứu

STT	Tên mồi	Trình tự
1	Pro4CL1XbaI0.8F	5' CGT TCTAGA GTG TAG ATA AGG GAT 3'
2	Pro4CL1NcoI R	5' CGT CCATGG GAG AAT CGA GAG ACA 3'
3	Po4CL1BamHI	5' GCCACAGGATCCAATCCACAAGAA 3'
4	Po4CL1NotI	5' CTTCACGGCGGCCGCTATGCCTGCC 3'
5	35S promoter	5' CAC TGA CGT AAG GGA TGA CGC 3'
6	C-myc KDEL	5' TAT CGA CGG ATC GGG CTA GAG TTC G 3'



Hình 1: Sơ đồ vector pCAMBIA eu4CL1 pro :: pi4CL1

Phương pháp nghiên cứu

Các phương pháp được sử dụng trong nghiên cứu bao gồm PCR, xử lý DNA plasmid với enzyme hạn chế, ghép nối gen với vector, biến nạp vector vào tế bào vi khuẩn được thực hiện theo Sambrook và Russell (2001).

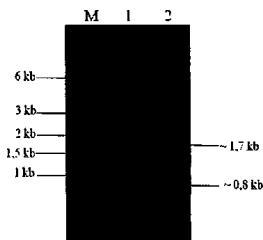
Đoạn gen *pi4CL1* được nhân lên từ vector tách dòng pJET 1.2 Blunt với cặp mồi Po4CL1BamHI và Po4CL1NotI (Bảng 1). Sản phẩm nhân gen *pi4CL1* sau khi được xử lý với enzyme *BamHI* và *NotI* được ghép nối với vector pRTRA 7/3 cũng được xử lý với cặp enzyme tương ứng, tạo nên vector pRTRA 35S pro :: *pi4CL1*.

Tiếp theo, vector này được mở vòng bằng *XbaI* và *NcoI* và được ghép nối với đoạn *eu4CL1* promoter đã được xử lý bằng cặp enzyme trên tạo nên pRTRA *eu4CL1 pro :: pi4CL1*. Cấu trúc *eu4CL1 pro :: pi4CL1* được cắt bởi *PstI* và ghép nối với vector pCAMBIA 1300 đã được mở vòng bằng enzyme tương ứng để tạo nên vector pCAMBIA *eu4CL1 pro :: pi4CL1*. Vector chuyển gen thực vật này được biến nạp bằng xung điện vào chủng vi khuẩn *A. tumefaciens* C58 (pGV2260).

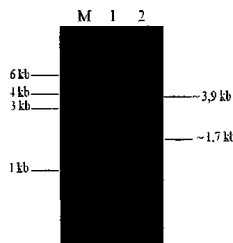
KẾT QUẢ VÀ THẢO LUẬN

Tạo vector pRTRA 35S pro :: *pi4CL1*

Vector pJET 1.2 Blunt mang gen *pi4CL1* được sử dụng làm khuôn cho phản ứng khuếch đại gen *pi4CL1* với cặp mồi Po4CL1BamHI và Po4CL1NotI, đoạn gen được nhân lên có kích thước 1.7 kb đúng với lý thuyết (Hình 2). Vì vậy, sản phẩm này được sử dụng cho việc cắt hai đầu bằng *BamHI* và *NotI* để nối vào vector pRTRA 7/3 đã mở vòng bằng *BamHI* và *NotI*. Sản phẩm lai được biến nạp và chọn dòng trong tế bào vi khuẩn *E. coli* DH10b. Sự có mặt của gen *pi4CL1* được kiểm tra bằng cách cắt vector tái tổ hợp với cặp enzyme *BamHI* và *NotI* (Hình 3). Kết quả điện di cho thấy vector pRTRA 35S pro :: *pi4CL1* mang đoạn gen *pi4CL1* đã được thiết kế thành công. Vector tái tổ hợp pRTRA 35S pro :: *pi4CL1* chứa đoạn 35S promoter được giới hạn trong đoạn DNA có điểm nhận biết của *PstI* và *NcoI*, đoạn signal peptide (SP) có chứa mã bộ ba ATG là đoạn tín hiệu dẫn protein hướng lối nội chất, nằm giữa điểm nhận biết của enzyme *NcoI* và *BamHI*. Đoạn gen *pi4CL1* nằm giữa hai điểm nhận biết của *BamHI* và *NotI*, sau đó là trình tự của đoạn mã hóa peptide c-myc và cuối cùng là vùng terminator kết thúc bằng trình tự nhận biết của *PstI*.



Hình 2. Điện di sản phẩm PCR nhận eu4CL1 promoter và gen pi4CL1. M: Marker 1 kb; 1: Sản phẩm PCR nhận gen pi4CL1; 2: Sản phẩm PCR nhận eu4CL1 promoter

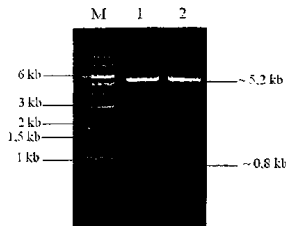


Hình 3. Kiểm tra sự có mặt của gen pi4CL1 trong vector pRTRA 35S pro :: pi4CL1. M: Marker 1 kb; 1: Vector pRTRA7/3 BamHI + Nott; 2: Vector pRTRA 35S pro :: pi4CL1 / BamHI + Nott.

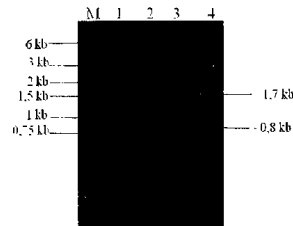
Tạo vector pRTRA eu4CL1 pro :: pi4CL1

Promoter eu4CL1 được tách dòng trong vector pJET 1.2 Blunt được sử dụng làm DNA khuôn cho phản ứng PCR nhận promoter eu4CL1 với cặp mồi Pro4CL1 *Xba*I và Pro4CL1 *Nco*I. Sản phẩm nhận đoạn promoter này có kích thước 0,8 kb là phù hợp với tính toán lý thuyết (Hình 2). Đoạn promoter này được sử dụng làm vật liệu nối với vector pRTRA 35S pro :: pi4CL1.

Vector pRTRA 35S pro :: pi4CL1 sau khi xử lý với *Xba*I và *Nco*I được tinh sạch để thực hiện phản ứng lai với đoạn promoter eu4CL1 đã được xử lý với cặp enzyme tương ứng. Mục đích thí nghiệm là để gen pi4CL1 được điều khiển bởi eu4CL1 promoter. Sản phẩm lai được biến nạp vào vi khuẩn *E. coli* chủng DH10b bằng phương pháp sốc nhiệt và kiểm tra sự có mặt của đoạn promoter eu4CL1 trong cấu trúc bằng cách cắt với enzyme hạn chế. Kết quả thể hiện ở Hình 4 đường chạy 2, cho thấy đoạn promoter eu4CL1 đã có trong pRTRA eu4CL1 pro :: pi4CL1.



Hình 4. Kiểm tra sự có mặt của promoter eu4CL1 trong vector pRTRA eu4CL1 pro :: pi4CL1. M: Marker 1 kb; 1: Vector pRTRA 35S pro :: pi4CL1/ XbaI + NcoI; 2: Vector pRTRA eu4CL1 pro :: pi4CL1/ XbaI + NcoI.



Hình 5. Kiểm tra sự có mặt của promoter eu4CL1 và gen pi4CL1 trong vector pCAMBIA eu4CL1 pro :: pi4CL1. M: Marker 1 kb; 1, 3: Đối chứng âm; 2, 4: PCR nhận eu4CL1 promoter và gen pi4CL1

Tạo vector pCAMBIA chứa cấu trúc eu4CL1 pro :: pi4CL1

Đoạn DNA chứa cấu trúc eu4CL1 pro :: pi4CL1 có kích thước khoảng 3,3 kb thu được khi xử lý pRTRA eu4CL1 pro :: pi4CL1 với enzyme *Pst*I, được tinh sạch và lai với vector pCAMBIA 1300 đã được mở rộng bằng enzyme *Pst*I.

Các khuôn lạc *E. coli* DH10b chứa vector pCAMBIA 1300 tái tổ hợp được chọn lọc bằng cách PCR nhận đoạn *eu4CL1* promoter sử dụng cặp mồi Pro4CL1XbaI và Pro4CL1NcoI, nhận đoạn gen *pi4CL1* bằng cặp mồi Po4CL1BamHI và Po4CL1NotI.

Kết quả PCR thể hiện trên hình 5, đường chạy 2, 4 cho thấy sản phẩm nhận gen đều có kích thước đúng theo lý thuyết. Như vậy promoter *eu4CL1* và gen *pi4CL1* đã có mặt trong vector pCAMBIA *eu4CL1* promoter :: *pi4CL1*.

Vector tái tổ hợp này được chuyển vào vi khuẩn *A. tumefaciens* chủng C58 (pGV2260) bằng phương pháp xung điện. Các khuôn lạc phát triển trên đĩa môi trường chứa kháng sinh kanamycin được chọn lọc nhờ PCR. Cấu trúc *eu4CL1* pro :: *pi4CL1* được kiểm tra trong vector pCAMBIA *eu4CL1* pro :: *pi4CL1* bằng PCR với cặp mồi 35S F và c-myc KDEL (Bảng 1). Toàn bộ cấu trúc này có kích thước khoảng 3,3 kb chứa gen *pi4CL1* và *eu4CL1* promoter. Kết quả ở hình 6 đường chạy 2 cho thấy đã nhận được đoạn DNA 3,3kb. Như vậy, vector pCAMBIA *eu4CL1* pro :: *pi4CL1* đã được biến nạp vào *A. tumefaciens* chủng C58 (pGV2260).

Với mục đích tạo vector chuyển gen thực vật mang gen *pi4CL1*, phục vụ các nghiên cứu nhằm tăng cường hàm lượng lignin ở vùng xylem thử cấy cho các cây lâm nghiệp nên chúng tôi đã tạo vector chuyển gen pCAMBIA *eu4CL1* pro :: *pi4CL1*. Ngoài ra, để dễ dàng cho việc kiểm tra khả năng biểu hiện gen trên cây chuyên gen thì gen *pi4CL1* đã được ghép nối với trình tự mã hóa peptide c-myc để nhận biết bằng kháng thể kháng c-myc. Hơn nữa, cấu trúc này được thiết kế có signal peptide hướng protein vào lưới nội chất, do vậy, nếu gen *pi4CL1* biểu hiện sẽ được tích lũy ở lưới nội chất. Với những đặc điểm như trên, vector pCAMBIA *eu4CL1* pro :: *pi4CL1* thích hợp cho việc chuyển gen nhằm tăng hàm lượng lignin ở cây lẫy gô.

KẾT LUẬN

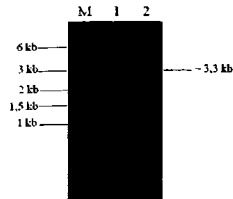
Như vậy, chúng tôi đã thành công trong việc tạo được các vector tái tổ hợp là pRTA *eu4CL1* pro :: *pi4CL1* và pCAMBIA *eu4CL1* pro :: *pi4CL1*. Các vector này đã được biến nạp vào tế bào vi khuẩn *E. coli* và *A. tumefaciens*. Chúng vi khuẩn *A. tumefaciens* mang vector pCAMBIA *eu4CL1* pro :: *pi4CL1* là nguồn nguyên liệu cho các nghiên cứu chuyển gen thực vật nhằm tăng hàm lượng lignin.

LỜI CẢM ƠN

Công trình được hoàn thành dựa trên sự hỗ trợ một phần kinh phí của đề tài mã số CNSH DT 03/06-10 thuộc Chương trình trọng điểm phát triển và ứng dụng công nghệ sinh học trong lĩnh vực nông nghiệp và phát triển nông thôn đến năm 2020 của Bộ Nông nghiệp và Phát triển nông thôn. Chúng tôi xin chân thành cảm ơn nhóm nghiên cứu của ThS. Hồ Văn Giáng Trường Đai học Lâm nghiệp đã cung cấp vector tách dòng TA chứa gen *pi4CL1*

TÀI LIỆU THAM KHẢO

- Chen ZZ, Chang S, Ho C, Chen YC, Tsia J, Chiang VL (2001). Plant production of transgenic *Eucalyptus camaldulensis* carrying the *Populus tremuloides* cinnamate 4-hydroxylase gene. *Taiwan J For Sci* 16(4): 249-258.
- Chen ZZ, Chen Y C, Chou YH, Lin Y (2006). cDNA cloning molecular characterization of 4 coumarate: coenzyme A ligase in *Eucalyptus camaldulensis*. *Taiwan J For Sci* 21(1): 87-100.
- Haufler KD, Paszkowski U, Schulze-Lefert P, Hahlbrock K, Dangl JL, Douglas CJ (1991). A parsley 4CL-1 promoter fragment specifies complex expression patterns in transgenic tobacco. *Plant Cell* 3(5): 435-443.
- Hu WJ, Kawaoka A, Tsai CJ, Lung J, Osakabe K, Ebina H, Chiang VL (1998). Compartmentalized expression of two structurally and functionally distinct 4-coumarate: CoA ligase genes in aspen (*Populus tremuloides*). *Proc Natl Acad Sci USA* 95(9): 5407-5412.
- Huỳnh Thị Thu Huệ, Dương Thị Thu Hà, Lê Thị Thu Hiền, Nông Văn Hải (2010). Promoter 4CL1 từ cây Bạch đàn trắng (*Eucalyptus camaldulensis*) và sự điều khiển biểu hiện gen gus đặc hiệu thân. *Tạp chí Công nghệ Sinh học* 8(3): 1-7.
- Lee D, Douglas CJ (1996). Two divergent members of a tobacco 4-coumarate: coenzyme A ligase (4CL) gene family. cDNA structure, gene inheritance and expression, and properties of recombinant proteins. *Plant Physiol* 112(1): 193-205.
- Lu H, Zhao YL, Jiang XN (2004). Stable and specific expression of 4-coumarate: coenzyme A ligase gene (4CL1) driven by the xylem-specific Pto4CL1 promoter in the transgenic tobacco. *Biotechnol Lett* 26(14): 1147-1152.
- Tourmier V, Grat S, Marque C, El Kayal W, Penchel R, de Andrade G, Bouet AM, Teulieres C (2003). An efficient procedure to stably introduce genes into an economically important pulp tree (*Eucalyptus grandis* x *Eucalyptus urophylla*). *Transgenic Res* 12(4): 403-411.



Hình 6. Kiểm tra sự có mặt của cấu trúc *pi4CL1* pro :: *eu4CL1* trong vector pCAMBIA1300. M: Marker 1kb; 1: Đối chứng âm; 2: PCR nhận toàn bộ cấu trúc

Umezawa T (2010). The cinnamate/monolignol pathway. *Phytochem Rev* 9: 1-17.

CONSTRUCTION OF A PLANT TRANSFORMATION VECTOR HARBORING EU4CL1 PROMOTER AND PI4CL1 GENE

Duong Thi Thu Ha, Huynh Thi Thu Hue, Le Thi Thu Hien, Nong Van Hai

Institute of Genome research, Vietnam Academy of Science and Technology

SUMMARY

In plants, lignin is a large and complex organic molecule involved in cell wall construct and it is a key component in plants self-defense mechanisms against external agents. Therefore, many studies have focused on introducing the genes such as C4H, CAD and 4CL in order to affect on lignin synthesis pathway for the purpose of changing lignin content in forest plants according to the wood demand. In these studies, 4CL1 promoter have usually used to control the xylem specific expression of gene. Our previous study about eu4CL1 promoter which isolated from *Eucalyptus camaldulensis* demonstrated that is the xylem specific promoter. Here, our research aims to construct a cassette in which the expression of a *pi4CL1* gene will be xylem specific express and is targeted to the cells endoplasmic reticulum. So that, recombinant vectors harboring *eu4CL1* promoter and *pi4CL1* gene isolated from *Pinus massoniana* Lamb were constructed. The size of *eu4CL1* promoter is 0.8 kb containing both of TATA box and CAAT box. *Pi4CL* gene is fully encoded nucleotide sequence with 1.7kb in length. In the cassette, *pi4CL1* gene is associated with sequence encoded 5' signal peptide directed protein in to the endoplasmic reticulum. A sequence encoded c-myc peptide, associated 3' of *pi4CL1* gene is a signal for checking the gene expression by Western blot with c-myc antibodies. The new created pCAMBIA1300 vector harboring the cassette has transformed into *Agrobacterium tumefaciens* which is material for plant transformation.

Keywords: eu4CL1 promoter, pi4CL1 gen, construction vector, plant transformation

Author for correspondence: Tel: +84 37918010; Email: hthue@igr.ac.vn

NGHIÊN CỨU CHẾ TẠO DUNG DỊCH NANO TITAN ỦNG DỤNG TRONG PHÒNG CHỐNG VIRUS GÂY BỆNH TRÊN THỰC VẬT

Hoàng Hà¹, Chu Hoàng Hà¹, Lê Văn Sơn¹, Phạm Thành Tùng¹, Đàm Thị Phương², Đồng Huy Giới²

¹ Viện Công nghệ sinh học - Viện Hàn lâm Khoa học và Công nghệ Việt Nam

² Đại học Nông nghiệp Hà Nội

TÓM TẮT

Trong báo cáo này, chúng tôi tóm tắt một số kết quả nghiên cứu trong việc chế tạo dung dịch nano titan (TiO_2 nanofluids) ứng dụng trong phòng chống virus thực vật. Các bước tiến hành như sau: trước tiên, hạt nano titan được tổng hợp bằng phương pháp Sol – gel. Hạt nano dạng bột tan thành sê được kiểm tra bằng ánh chụp SEM (Scanning Electron Microscope) và phân tích UV-vis. Kích thước hạt thô TiO_2 thu được dao động trong khoảng 3 đến 50 nm ở dạng anatase (một trong ba dạng tinh thể của titanium dioxide) với điều kiện nung 400°C và kiểm soát bằng nồng độ axit. Sau đó, các hạt nano TiO_2 được phân tán trong nước deion bằng rung siêu âm để tạo thành dung dịch nano titan có nồng độ từ 1% - 2%. Kết quả ứng dụng xử lý thực vật cho thấy, dung dịch nano titan được tổng hợp theo phương pháp trên có khả năng ức chế sự phát triển và lây lan của virus CMV trên cây thuốc lá.

Từ khóa: anatase, nanofluids, nano titan, tinh thể TiO_2 , virus thực vật.

MỞ ĐẦU

Nanofluid có bột chất là chất keo được tạo thành bởi một chất lỏng cơ bản hòa tan các hạt có kích thước nano (1-100nm). Chất lỏng cơ bản có thể là nước, chất lỏng hữu cơ (như ethylene, tri-ethylene glycol...), các loại dầu, chất bôi trơn, dịch sinh học, cao phân tử (Kavitha et al., 2012). Vật liệu nano kim loại thường được sử dụng bao gồm các oxit kim loại (nhôm, silic, zirconia, titan), đồ gỗ oxit (Al_2O_3 , CuO), cacbua kim loại (SiC), carbon trong các hợp chất khác nhau (kim cương, than chì, ống nano carbon)... Ở dạng Nanofluid, các hạt nano kim loại xuất hiện nhiều đặc tính mới. Kích thước hạt, sự phân tán của các hạt nano ảnh hưởng nhiều đến tính chất của dung dịch Nanofluid (Hee-Dong Jang et al., 2008; Songping Mo et al., 2012).

Dung dịch nanofluids có thể được chế tạo theo 2 phương pháp bao gồm phương pháp 1 bước (one-step method) và phương pháp 2 bước (two-step method). Tuy nhiên, phương pháp 2 bước được sử dụng rộng rãi hơn do tính chất ưu việt của nó (Wei et al., 2012). Ở bước đầu tiên, các dạng vật liệu nano như hạt nano, sợi nano, ống nano... được tạo ra bằng các phương pháp khác như sử dụng nhiệt, siêu âm, hơi nước, lắng đọng hơi hóa học (CVD - Chemical vapor deposition) hoặc Sol – gel. Trong đó Sol – gel là phương pháp tỏa ưu việt hơn cả trong việc tạo ra các siêu oxit kim loại tinh khiết và đã được sử dụng rộng rãi trong việc tổng hợp titanium dioxide (TiO_2). Các hạt nano kim loại tạo thành sau đó sẽ được phân tán vào trong một chất lỏng nền trong bước xử lý thứ hai với sự trợ giúp của máy khuấy tay, rung, siêu âm, khuấy trộn mạnh và đồng nhất... (Songping et al., 2012; Wei et al., 2012). Hiện nay, các nghiên cứu thấy rằng, dung dịch nano titan chính nó không có độc tính với virus và tế bào. Nó sẽ có chức năng xử lý, khử trùng chỉ sau khi có chiếu xạ của ánh sáng tia cực tím (Songping et al., 2012). Sức mạnh oxy hóa rất mạnh của titan dioxide có thể phá hủy vỏ của virus, các phản ứng ức chế hoạt động của virus và kết quả cuối cùng tiêu diệt virus (Songping et al., 2012). Các nghiên cứu của hãng Soma Medical International chỉ ra rằng khi có ánh sáng cực tím chiếu trực tiếp lên dung dịch nano titan, một cấp điện tử lõi trống sẽ được tạo ra. Hoạt động tích cực của điện tử lõi trống titanium dioxide đã phá vỡ các phân tử nước để tạo thành khí hydro và gốc hydroxyl. Các phản ứng điện tử với phân tử oxy để tạo thành siêu oxit anion (O_2^-). Siêu oxit anion tạo thành có thể tiếp tục phản ứng với các phân tử nước, tạo ra hydroxyl peroxide triết để ($\cdot OOH$) và hydrogen peroxide (H_2O_2). Hơn nữa, hoạt động gốc hydroxyl có thể kết hợp để tạo thành hydroperoxide và $\cdot OH$, O_2^- , H_2O_2 . H_2O_2 hình thành trên bề mặt của titan dioxide có thể phản ứng với virus và thành phần của nó để tiêu diệt virus.

Trong nghiên cứu này, dung dịch nanofluids TiO_2 được tạo ra theo phương pháp 2 bước. Đầu tiên, hạt nano titan được tạo thành dưới dạng bột bằng phương pháp sol – gel dựa trên cơ chất n-butyl orthotitanate $Ti(OC_4H_9)_4$ và các hóa chất khác. Tiếp đó, hạt nano titan thành phẩm sẽ được khảo sát về kích thước bằng ánh chụp SEM. Khi kích thước hạt dao động từ 10 đến 50 nm, các hạt nano titan sẽ được phân tán trong dung dịch nước deion bằng rung siêu âm. Dung dịch nanofluids TiO_2 tạo thành được thử nghiệm khả năng ức chế virus TMV trên đối tượng cây trồng.

VẬT LIỆU VÀ PHƯƠNG PHÁP

Vật liệu

$Ti(OC_4H_9)_4$, HNO_3 , Trizol, Isopropanol, Cloroform, thang DNA 1 kb (Fermentas), Bacto pepton, Yeast extract, NaCl, Agarose, Tris HCl, EDTA, Glycerol, $CaCl_2$, Ethanol 70 %, nước khử ion, kit tách chiết RNA (Trizol Regent), bô hóa chất sử dụng cho RT-PCR...của các hãng Fermentas, Invitrogen, Merck, Sigma, Pharmacia Biotech. Cây thuốc lá sạch bệnh và nguồn virus được cung cấp bởi phòng Công nghệ Tế bào Thực vật – Viện Công nghệ Sinh học.

Phương pháp

Phương pháp thực nghiệm điều chế dung dịch TiO_2 kích thước nm bằng phương pháp sol – gel

Cơ chất được sử dụng điều chế dung dịch TiO_2 bằng phương pháp sol – gel là $Ti(OC_4H_9)_4$. Môi trường cho phản ứng thủy phân xảy ra là hỗn hợp isopropanol – nước dưới sự xúc tác của HNO_3 .

Quy trình được thực hiện như sau:

- Chuẩn bị nước cát đã được chuẩn độ bằng HNO_3 tới giá trị pH = 1,5, HNO_3 là chất xúc tác.
- Pha hỗn hợp dung dịch $\text{Ti}(\text{OC}_4\text{H}_9)_4$ hòa tan với isopropanol Khan, theo một tỉ lệ 1:3, isopropanol Khan được sử dụng là dung môi để tiến hành phản ứng.
- Dùng pipet nhỏ từ từ từng giọt dung dịch $\text{Ti}(\text{OC}_4\text{H}_9)_4$ và isopropanol Khan vào dung dịch nước cát đã chuẩn bị trong điều kiện khuấy trộn mạnh.
- Nâng nhiệt độ của dung dịch đến 70°C để quá trình thủy phân xảy ra. Quá trình thủy phân được thực hiện ở điều kiện khuấy trộn mạnh, nhiệt độ và thời gian kéo dài cho quá trình sol – gel là 6h.
- Dung dịch thu được được lọc và đổ ra đĩa petri, sử dụng máy già nhiệt làm khô.
- TiO_2 dạng bột được rửa 3 lần với isopropanol và để khô ở 50°C trong 1h đến khi bột chuyển sang dạng màu trắng, sau đó đem nung trong lò nung 400°C trong 2h để thu sản phẩm.
- Xác định cấu trúc tinh thể, kích thước hạt trung bình của hạt bằng kính hiển vi điện tử truyền qua (TEM), phân tích bằng UV-Vis.

Phương pháp thực nghiệm chế tạo Nanofluid TiO_2

Nanofluid TiO_2 được tạo ra theo qui trình sau: Sử dụng 0,05 g tinh thể nano titan trộn với 50 ml H_2O deion khử trùng trong bình tam giác. Tiến hành siêu âm trong 3h.

Lây nhiễm virus CMV vào thuốc lá

Cân 200 g lá thuốc lá nhiễm bệnh kèm lá do virus CMV, nghiền trong 400 - 800 ml đậm phosphates buffer pH = 7 trong cối chày sứ (phosphate buffer có thể thay đổi tùy và điều kiện nhiễm bệnh của lá), để lắng cặn, loại bỏ cặn. Thêm 20 g bột silic cacbon, đảo đều. Chọn 2-3 lá bánh tẻ, dùng bông tắm hoặc phun hỗn hợp trên bề mặt lá cần lây nhiễm, chỉ cần phủ 1/2 bề mặt trên của lá, phía gần ngon lá (silic cacbon không tan, cần đảo đều trong quá trình lây nhiễm, tinh thể silic cacbon có cạnh sắc có tác dụng gây tổn thương với thành tế bào). Theo dõi biểu hiện bệnh bắt đầu từ 1 tuần sau khi lây nhiễm (thời gian này tùy vào chủng virus và giống cây). Sau 1-2 ngày cần rửa sạch lá, loại bỏ silic cacbon tồn dư gây tổn thương lá cây.

Tách chiết ARN, RT – PCR phát hiện sự có mặt của virus

ARN tổng số được tách bằng cách sử dụng kit Trizol® Regents (Invitrogen). Phản ứng RT – PCR được tiến hành trong hai bước. Bước một, cDNA được tạo ra bằng cách sử dụng bộ kit First stand cDNA synthesis (Fermentas). Bước hai, phản ứng PCR nhận gen đặc hiệu cho CMV.

Xử lý cây bị bệnh bằng dung dịch nano titan và đánh giá khả năng ức chế sự phát triển của virus CMV

Cây thuốc lá sau khi được lây nhiễm nhân tạo virus CMV qua vết thương 1 ngày được phun 400 ml đến 800 ml dung dịch nano titan. Quan sát sự phát triển của cây sau 1 tuần, 2 tuần và 3 tuần. Tiến hành thu các mẫu lá gần khu vực lây nhiễm và khu vực thân cây. Khả năng ức chế sự phát triển của virus CMV bằng dung dịch nano titan được đánh giá thông qua các phân tích và so sánh giữa khả năng lây nhiễm của virus CMV ở cây lây nhiễm nhân tạo có xử lý và cây lây nhiễm nhân tạo không xử lý bằng dung dịch nano titan.

KẾT QUẢ VÀ THÁO LUẬN

Chế tạo tinh thể titan oxit

Theo nghiên cứu của Duan và đồng tác giả (2009), Kavitha và đồng tác giả (2013), tinh thể nano titan tạo ra theo phương pháp sol – gel chịu ảnh hưởng rất nhiều bởi các yếu tố như pH, nhiệt độ trong quá trình tạo sol, phương pháp hòa trộn, thời gian tạo sol – gel. Khi các điều kiện này đạt chuẩn sẽ tạo hạt có ánh kim, kích thước hạt nhỏ, sự liên kết giữa các tinh thể yếu, bề mặt hạt mịn, hạt có màu vàng nhạt và sự phân tán của hạt trong nước cao.



Hình 1. Tinh thể titan trước khi nung với các điều kiện tạo sol khác nhau

Nghiên cứu của các nhóm tác giả này cũng chỉ ra rằng với điều kiện pH=1,5; nhiệt độ: 70°C; phương pháp hòa trộn là nhỏ giọt cho phép tạo ra các hạt nano titan có kích thước nhỏ từ 3 nm trở lên. Do đó, chúng tôi sử dụng điều kiện này cho quá trình tạo hạt. Đồng thời, chúng tôi khảo sát thời gian kéo dài cho quá trình sol – gel với các mức thời gian là 2h, 4h và 6h. Kết quả cho thấy khi quá trình sol – gel kéo dài 2h hoặc 4h thì khả năng phân tán của hạt trong nước không cao. Hạt thu được ở 2h và 4h có lẩn tấp do sự dư thừa cơ chất, hạt có màu vàng nhạt. Trong công bố của Karami và đồng tác giả (2010), màu sắc của hạt TiO_2 thu được ảnh hưởng rất lớn đến cấu trúc tinh thể, kích thước hạt và hoạt tính của TiO_2 kích thước nm. Theo đó, tinh thể TiO_2 có màu vàng cánh gián, kích thước tinh thể nhỏ sẽ tạo ra hạt titan có kích

thuộc dao động trong khoảng 3 đến 40 nm. Kết quả trên hình 1 cho thấy với khoảng thời gian tạo sol là 6h sẽ cho ra các tinh thể titan đáp ứng được những điều kiện này. Khi đó, các hạt tinh thể titan có kích thước nhỏ, màu vàng cánh gián và có khả năng phân tán trong nước tốt nhất. Đây là nguyên liệu cần thiết đáp ứng tốt cho các thí nghiệm tiếp theo.

Phân tích mẫu bằng phương pháp chụp SEM

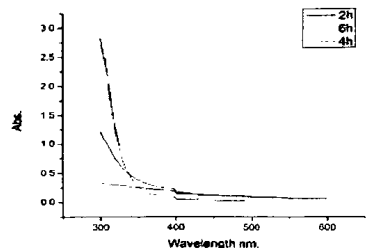
Sau khi nung ở 400°C, các hạt TiO₂ được đem phân tích hình thái học bằng phương pháp chụp SEM.



Hình 2. Ảnh SEM mô tả hình thái học của hạt nano titan khi nung ở 400°C

Hình 2 cho thấy, hình thái học của các hạt nano dao động từ 3 đến 50 nm. Hình ảnh hạt sắc nét, một số vị trí có hình thái bất thường do sự kết tụ của các tiểu hạt.

Phân tích mẫu bằng phương pháp đo phổ hấp thụ UV/VIS



Hình 3. Phổ UV-Vis của dung dịch nano titan với khoảng thời gian tạo sol là 2h, 4h, 6h

Phân tích phổ UV-VIS với các khoảng thời gian tạo sol khác nhau cho kết quả thể hiện ở Hình 3. Theo nghiên cứu của Ngô Huỳnh Bửu Trọng và đồng tác giả (2012) thì bờ hấp thụ của TiO₂ ở khoảng bước sóng 380 nm. Kết quả thực nghiệm được thể hiện trên Hình 3 cho thấy mẫu TiO₂ với thời gian tạo 4h và 6h đều có phổ hấp thụ khoảng 380 nm. Điều đó chứng minh rằng mẫu hạt của chúng tôi tạo được ở dạng tinh thể nano, có tính chất hấp thụ tia tử ngoại như vật liệu TiO₂ kích thước nm.

Tạo dung dịch nano TiO₂: Theo nhóm nghiên cứu của Kavitha (2012), thời gian rung siêu âm ánh hưởng nhiều đến sự phân bố của hạt trong dung dịch. Do đó, chúng tôi nghiên cứu khảo sát tạo dung dịch nano TiO₂ theo tỉ lệ 0,05 g tinh thể nano titan với 50 ml dH₂O và tiến hành rung siêu âm với dây thời gian từ 0h đến 4h.



Hình 4. Dung dịch nano TiO₂ tạo thành sau các khoảng thời gian rung siêu âm khác nhau. Số thứ tự 1; 2; 3; 4; 5 lần lượt tương ứng với các điều kiện không rung siêu âm, rung siêu âm 1h, 2h, 3h và 4h

Kết quả Hình 4 cho thấy khi tạo dung dịch nano TiO₂ không tiến hành rung siêu âm, khả năng phân tán của hạt hạt ở mức trung bình, độ lắng của TiO₂ theo thời gian cao, dung dịch có màu gel trong nhạt. Khi tiến hành rung siêu âm, màu của dung dịch đậm dần, khả năng phân tán của hạt trong nước tăng và mức độ lắng động của hạt TiO₂ giảm dần. So sánh giữa các khoảng thời gian 1h đến 4h cho thấy với quá trình rung siêu âm là 3h sẽ thu được dung dịch có màu gel trong đặc, khả năng phân tán của hạt trong nước tốt nhất và giảm thiểu sự lắng đọng theo thời gian. Do đó, rung siêu âm 3h là điều kiện cho ra dung dịch nano titan có độ phân tán cao nhất.

Đánh giá khả năng ức chế sự phát triển của virus thực vật bằng dung dịch nano titan

Cây thuốc lá sạch bệnh được lấy nhiễm nhân tạo với chủng virus *Cucumber mosaic* (CMV) theo quy trình đã được trình bày ở mục phương pháp. Sau 1 ngày lấy nhiễm nhân tạo, chúng tôi chia các cây thành hai nhóm để tiến hành thí nghiệm tiếp theo (các thí nghiệm này đều được thực hiện tại nơi có ánh sáng mặt trời với mục đích xúc tác cho quá trình quang hoà của dung dịch nano titan): một nhóm cây bị lấy nhiễm sẽ được xử lý bằng dung dịch nano titan, trong khi đó nhóm cây bị lấy nhiễm còn lại sẽ không được xử lý để làm đối chứng. Sự phát triển của các cây thuốc lá thuộc hai nhóm sau 1 đến 3 tuần xử lý với dung dịch nano titan được quan sát và so sánh (Hình 5).



Hình 5. Biểu hiện bệnh của cây thuốc lá nhiễm CMV được xử lý bằng dung dịch nanotitan sau 1 tuần lây nhiễm

Kết quả quan sát cho thấy sau 1 tuần xử lý bằng dung dịch nano titan, không có sự khác biệt về hình thái giữa hai nhóm cây lây nhiễm. Hình thái cũng sự phát triển của cây, lá vẫn bình thường và không xuất hiện các dấu hiệu hay triệu chứng của bệnh khâm lá.

Do không phân biệt được triệu chứng của bệnh bằng mắt thường, chúng tôi đã tách chiết RNA tổng số từ mẫu lá và thực hiện phản ứng RT-PCR với cặp mồi đặc hiệu cho CMV để khẳng định sự có mặt hay không của virus này ở hai nhóm cây.



Hình 6. RT- PCR kiểm tra sự có mặt của CMV ở hai nhóm cây. Ký hiệu: (D/c+) phân thân cây đối chứng được lây nhiễm nhân tạo với CMV nhưng không được xử lý bằng dung dịch nano titan. Số thứ tự 1, 2, 3, 4, 5, 6, 7 tương ứng với các mẫu lá của cây lây nhiễm nhân tạo và được xử lý bằng dung dịch nano titan; 8: mẫu thân của cây được lây nhiễm nhân tạo và xử lý bằng nano titan. M: Marker



Hình 7. Biểu hiện bệnh của cây thuốc lá nhiễm CMV được xử lý bằng dung dịch nano titan sau 3 tuần lây nhiễm

Kết quả hình 6 cho thấy: với nhóm cây không xử lý bằng dung dịch nano titan, phản ứng RT-PCR phát hiện sự có mặt virus CMV ở phân thân. Như vậy, đã có hiện tượng lan truyền virus từ lá bị nhiễm nhân tạo sang thân. Kiểm tra phân thân với nhóm cây được xử lý bằng dung dịch nano titan, phản ứng RT-PCR không phát hiện virus CMV ở bộ phận này (giêng 8). Kết quả ám tính cũng xảy ra khi kiểm tra sự có mặt của virus ở các bộ phận khác như lá của nhóm cây này (giêng 2-7). Duy nhất một mẫu lá bị lây nhiễm nhân tạo sau khi được xử lý bằng dung dịch nano titan vẫn phát hiện được sự có mặt của virus CMV (giêng 1). Kết quả này cho thấy khả năng ức chế sự phát triển của virus, ngăn cản khả năng lây lan của virus sang các phần khác của cây khi xử lý cây nhiễm virus bằng dung dịch nano titan.

Tiếp tục quan sát hai nhóm cây này sau 3 tuần, chúng tôi phát hiện thấy có sự biểu hiện khác nhau giữa hai nhóm cây. Trong khi nhóm cây được xử lý bằng dung dịch nano titan không có triệu chứng biểu hiện bệnh thì nhóm cây không được xử lý bắt đầu biểu hiện những dấu hiệu đặc trưng của cây thuốc lá nhiễm virus CMV như xuất hiện các vết khâm đốm màu vàng nhạt xen kẽ các vết xanh đậm, thủy lá nhỏ hép, xanh cong, cây kém phát triển, thân mảnh (Hình 7).

Những kết quả này cho phép chúng tôi tạm thời kết luận dung dịch nano titan có khả năng ức chế sự phát triển và phát tán của virus CMV trong cây thuốc lá. Với cây được xử lý bằng dung dịch nano titan, virus không có khả năng lây nhiễm sang các bộ phận khác của cây, do đó cây vẫn phát triển bình thường và không có sự biểu hiện bệnh sau 3 tuần xử lý.

Hiện nay, các nhà nghiên cứu thấy rằng trong dung dịch, các hạt titanium dioxide hấp thụ trên bề mặt của tế bào vi sinh vật lâm sàng khả năng tóm và tiêu diệt các dạng vi khuẩn và virus. Ngoài ra nếu hàm lượng dung dịch nano titan không quá lớn sẽ cho phép tiêu diệt hiệu quả các virus gây bệnh nằm bên trong tế bào vật chủ mà không gây ảnh hưởng lớn đến tế bào vật chủ.

KẾT LUẬN

Chế tạo thành công dung dịch nano titan có kích thước dao động từ 3 đến 50 nm với điều kiện nung 400°C, pH=1,5; nhiệt độ tạo sol 70°C, phương pháp hòa trộn là nhồi giọt, thời gian kéo dài quá trình tạo sol – gel là 6h. Dung dịch nano titan thành phẩm có khả năng ức chế sự phát triển và lây lan của virus CMV trên cây thuốc lá.

TÀI LIỆU THAM KHẢO

- Karami A (2010). Synthesis of TiO₂ Nano Powder by the Sol – gel Method and Its Use a Photocatalyst. *J Iranian Chem Soc* 7(2): 154-160
- Ariet G, Brami G, D Hee-Dong Jang, Hankwon Chang, Kuk Cho, Soon-Jong Kim, Jin-Ho Park, Jeong-Woo Choi, Kikuo Okuyama(2008). Fabrication of porous nanostructured TiO₂ particles by an aerosol templating method. *Ultramicroscopy* 108(10):1241-5
- Duan Y, Liu J, Ma L, Li N, Liu H, Wang J, Zheng L, Liu C, Wang X, Zhao X, Yan J, Wang S, Wang H, Zhang X, Hong F (2010). Toxicological characteristics of nanoparticulate anatase titanium dioxide in mice. *Medical College of Soochow University, Suzhou 215123, PR China* 31(5):694-9
- Kavitha T, Rajendran A, Durairajan A (2012). Synthesis, characterization of TiO₂ nano powder and water based nanofluids using two step method. *EJAESR* 1(4):235-240.
- Kavitha T, Rajendran A, Durairajan A (2013). Synthesis and characterization of nanosized TiO₂ powder derived from a sol – gel process in acidic conditions. *IJESET* 4(2): 90-95 @IESET
- Ngô Huỳnh Bửu Trọng, Võ Văn Hoàng (2007) Structural properties of amorphous TiO₂ nanoparticles. *Eur Physic J* 44(3):515-524
- Songping Mo, Ying Chen, Lisi Jia, Xianglong Luo (2012). Investigation on crystallization of TiO₂-water nanofluids and deionized water. *Appl Ener* 93 (C):65-70
- Wei Yuand and Huaqing Xie (2012). A Review on Nanofluids Preparation, Stability Mechanisms, and Applications. *J Nanomat* 2012 (2012), Article ID 435873, 17 pages doi:10.1155/2012/435873

STUDY ON SYNTHESIS OF TiO₂ NANOFLOUDS APPLIED IN PREVENTION OF VIRUS INFECTION IN PLANTS

Hoang Ha¹, Chu Hoang Ha¹, Le Van Son¹, Pham Thanh Tung¹, Dam Thi Phuong², Dong Huy Gioi²

¹ Institute of Biotechnology, VAST

² Hanoi University of Agriculture

SUMMARY

This paper summarizes some of our recent study results on the synthesis of TiO₂ nanofluids applied in prevention of plant viruses. In this study, TiO₂ nano particles were synthesized by Sol-gel technique. The prepared TiO₂ powder was characterized by using SEM (Scanning Electron Microscope) and UV-vis analysis. By heating at 400°C in 2 hours and controlling the acidity, the resulted crystallite size of TiO₂ powder, in the form of anatase (one of three mineral forms of titanium dioxide), ranged from 3 to 50 nm. Then, crystallized TiO₂ nano particles were dispersed in deionized water by ultrasonic vibration in order to get the TiO₂ nanofluids with the concentrations ranging from 1% to 2%. Treatment results showed that our synthesized TiO₂ nanofluids were able to inhibit the growth and the spread of CMV in tobacco.

Keywords: anatase, crystalline TiO₂, nanofluids, nano titanium, plant viruses

Author for correspondence: Tel: 0974922312; Email: hoanghapcb@ibt.ac.vn